

	PROGETTISTA  <small>consulenza materiali - ispezioni - saldatura progettazione - direzione lavori</small>	COMMESSA NR/20047	UNITÀ 00
	LOCALITA' REGIONI TOSCANA E UMBRIA	LSC-146/ALL. A	
	PROGETTO Rifacimento Metanodotto Sansepolcro – Foligno e opere connesse	Pagina 1 di 30	Rev. 0

Progetto:

RIFACIMENTO METANODOTTO SANSEPOLCRO – FOLIGNO
E OPERE CONNESSE

RELAZIONE DI COMPATIBILITA' IDROLOGICA-IDRAULICA

ATTRAVERSAMENTO TORRENTE VASCHI
CON TRIVELLAZIONE ORIZZONTALE CONTROLLATA
IN COMUNE DI CITTA' DI CASTELLO (PG)



0	Emissione	Polloni	Battisti	Luminari	30.09.2021
Rev.	Descrizione	Elaborato	Verificato	Approvato	Data

	PROGETTISTA  <small>consulenza materiali - ispezioni - saldatura progettazione - direzione lavori</small>	COMMESSA NR/20047	UNITÀ 00
	LOCALITÀ REGIONI TOSCANA E UMBRIA	LSC-146/ALL. A	
	PROGETTO Rifacimento Metanodotto Sansepolcro – Foligno e opere connesse	Pagina 2 di 30	Rev. 0

INDICE

1	PREMESSA.....	3
2	LOCALIZZAZIONE DELL'AREA	4
3	CARATTERISTICHE IDROLOGICHE	6
4	STUDIO IDRAULICO.....	8
4.1	Studio UNIPG per il PAI	8
4.2	Modellazione locale	9
4.2.1	Metodologia adottata	9
4.2.2	Ricostruzione dei livelli di piena	12
4.2.3	Risultati della modellazione	12
5	RISCHI IDRAULICI.....	14
5.1	Erosione di fondo alveo	14
5.2	Approfondimento di fondo alveo	15
5.3	Erosione spondale	15
5.4	Cambio di percorso e taglio di meandro	16
5.5	Stima dello spessore di erosione generalizzata in caso di evento critico	16
5.6	Approfondimenti localizzati (buche in alveo).....	18
5.7	Risultati delle verifiche	20
6	CONSIDERAZIONI CONCLUSIVE.....	22

ALLEGATO 1: RISULTATI DELLA MODELLAZIONE IDRAULICA

	PROGETTISTA  <small>consulenza materiali - ispezioni - saldatura progettazione - direzione lavori</small>	COMMESSA NR/20047	UNITÀ 00
	LOCALITÀ REGIONI TOSCANA E UMBRIA	LSC-146/ALL. A	
	PROGETTO Rifacimento Metanodotto Sansepolcro – Foligno e opere connesse	Pagina 3 di 30	Rev. 0

1 PREMESSA

La presente relazione è relativa allo studio idrologico e idraulico in corrispondenza dell'attraversamento del T. Vaschi da parte del "Metanodotto Sansepolcro-Foligno DN 400 (16)" – DP 75 bar", alla progressiva PK 16+367 km, che ricade nel territorio del comune di Città di Castello (PG).

Tale studio è di supporto alla Relazione di Compatibilità Idraulica (LSC-146) (alla quale è allegato), volta a dimostrare come l'intervento in progetto, che risulta non altrimenti localizzabile, "non costituisce significativo ostacolo al libero deflusso e/o significativa riduzione dell'attuale capacità d'invaso".

Scopo dello studio è di valutare le caratteristiche idrauliche del corso d'acqua per quanto attiene le portate di massima piena al colmo con i relativi livelli idrici e di definire i parametri idraulici in corrispondenza del tratto di torrente interessato dagli interventi, permettendo pertanto la corretta progettazione delle opere.

Sono stati tenuti in conto i precedenti studi idraulici effettuati in ambito PAI e in particolare lo studio di CNR IRPI di Perugia "Redazione Mappe delle Aree Allagabili finalizzata all'individuazione del rischio idraulico nel reticolo minore del Fiume Tevere, Torrente Vaschi"

Le elaborazioni idrauliche eseguite hanno avuto lo scopo di verificare localmente le caratteristiche della corrente, verificandone la congruità con i risultati ottenuti dai precedenti studi, in considerazione anche dell'attuale conformazione morfologica dell'alveo. La modellazione è stata compiuta in condizione di moto permanente con portata bicentennale tramite il programma di calcolo HEC-RAS, vers. 6.0.0.

Per effettuare la modellazione si sono condotti specifici rilievi topografici, nonché accurati sopralluoghi da parte di tecnici esperti. Sono state inoltre eseguite indagini geognostiche in loco.

Il progetto di attraversamento, comprensivo di planimetria, profilo, caratteristiche geometriche e strutturali della condotta e caratteristiche delle eventuali opere di ripristino e protezione è raffigurato nell'elaborato grafico allegato allo Studio di impatto ambientale (SIA):

- AT-20047L01-09 Attraversamento Torrente Vaschi e Rio Secco

al quale si rimanda per approfondimenti.

	PROGETTISTA  <small>consulenza materiali - ispezioni - saldatura progettazione - direzione lavori</small>	COMMESSA NR/20047	UNITÀ 00
	LOCALITÀ REGIONI TOSCANA E UMBRIA	LSC-146/ALL. A	
	PROGETTO Rifacimento Metanodotto Sansepolcro – Foligno e opere connesse	Pagina 4 di 30	Rev. 0

2 LOCALIZZAZIONE DELL'AREA

L'area in cui si colloca l'intervento in oggetto è localizzata lungo il corso d'acqua del T. Vaschi nella parte bassa del suo sviluppo, all'altezza delle località Badiali e Titta, circa 2 km prima dell'entrata nell'abitato di Città di Castello.

L'attraversamento del torrente ricade nel territorio del comune di Città di Castello (PG).

Nello stralcio allegato in Fig. 2/A, tratto dalla base cartografica IGM a scala 1:100.000, si riporta la localizzazione del sito.

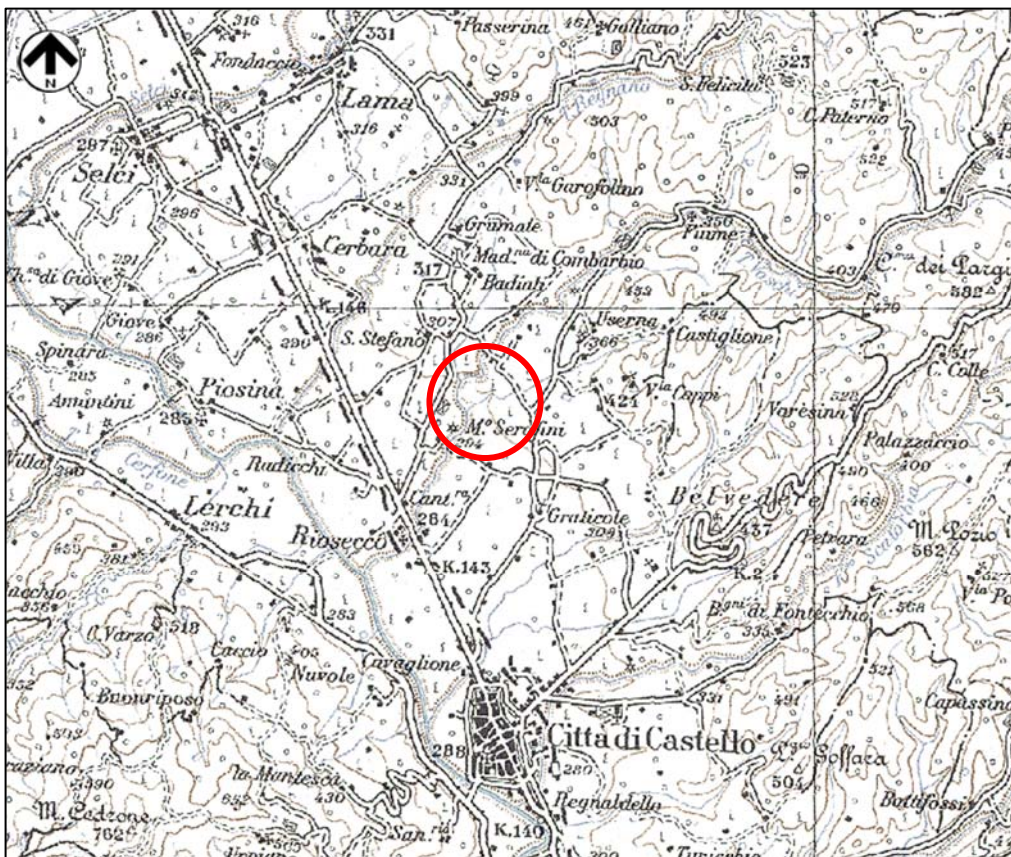


Figura 2/A – Inquadramento a scala 1:100.000 con indicata la posizione dell'attraversamento in studio

A livello della cartografia CTR della regione Umbria, l'attraversamento si ubica nel foglio 289120, di cui si riporta il particolare con la localizzazione dell'opera in progetto (v. Fig. 2/B).

In tale immagine il tracciato in progetto è individuato dalla linea in colore rosso, il metanodotto in fase di dismissione dalla linea di colore verde e l'area di attraversamento del corso d'acqua con cerchio rosso. In Figura 2/C viene riportata anche la ubicazione su immagine aerea Google.

	PROGETTISTA  consulenza materiali - ispezioni - saldatura progettazione - direzione lavori	COMMESSA NR/20047	UNITÀ 00
	LOCALITA' REGIONI TOSCANA E UMBRIA	LSC-146/ALL. A	
	PROGETTO Rifacimento Metanodotto Sansepolcro – Foligno e opere connesse	Pagina 5 di 30	Rev. 0

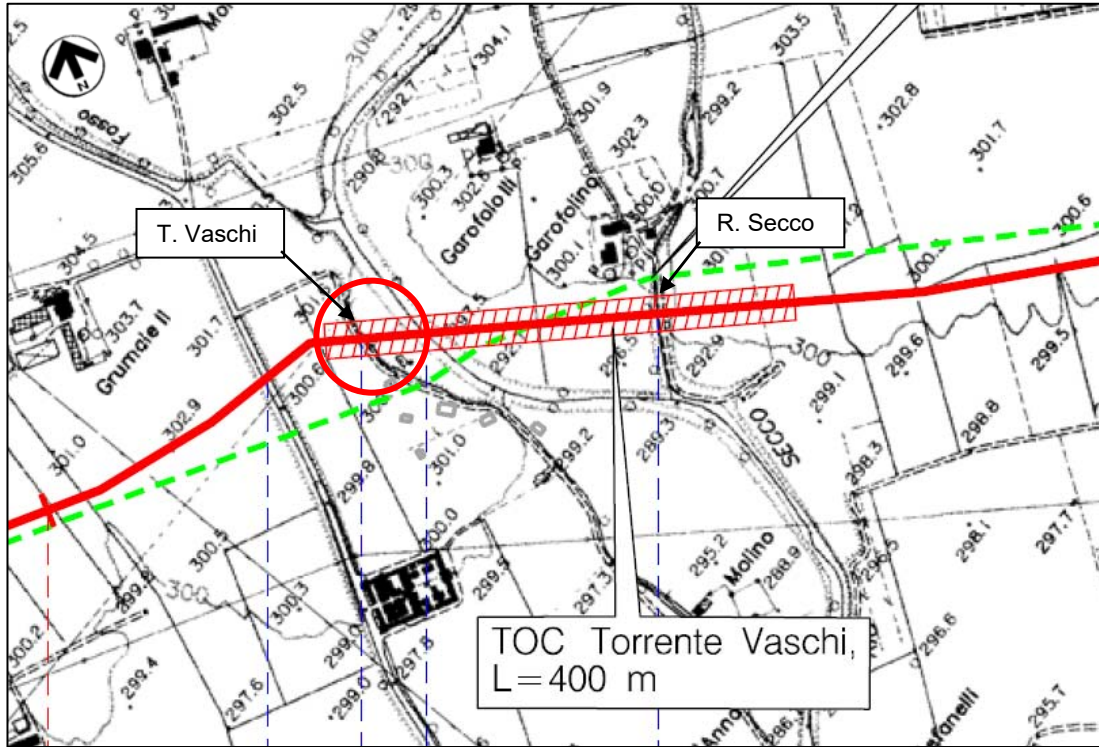


Figura 1/B – Stralcio CTR con localizzazione dell'attraversamento

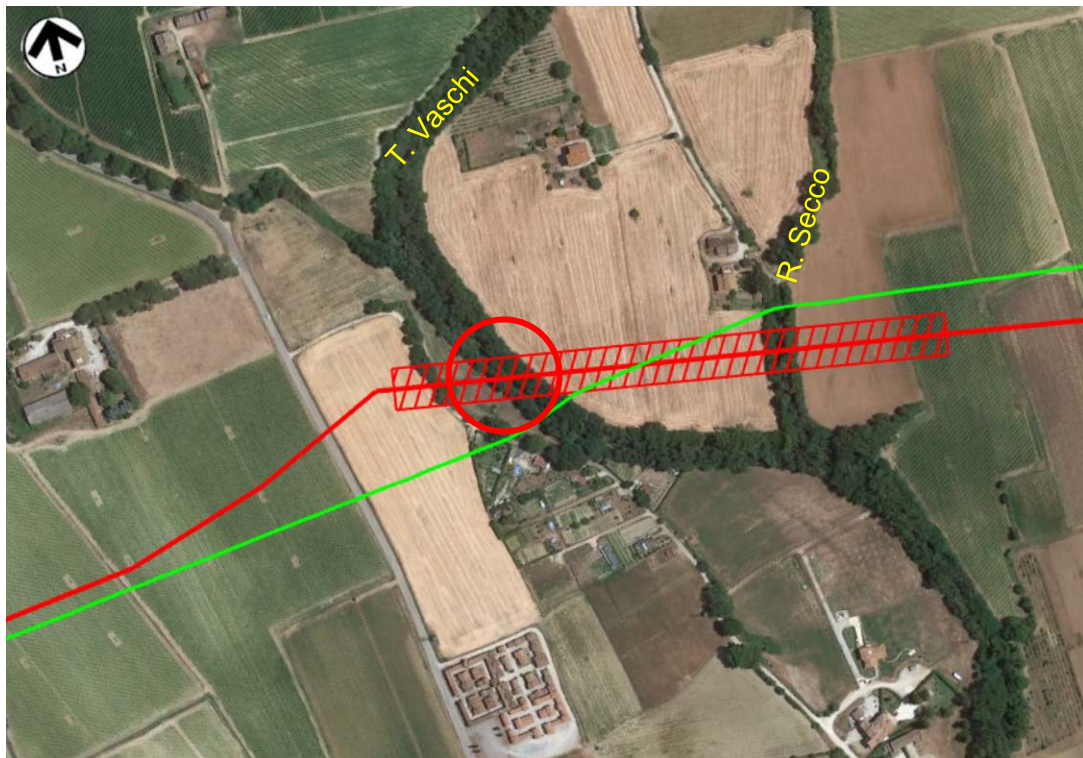


Figura 2/C – Immagine aerea con localizzazione della sezione di attraversamento (su base Google Earth)

	PROGETTISTA  <small>consulenza materiali - ispezioni - saldatura progettazione - direzione lavori</small>	COMMESSA NR/20047	UNITÀ 00
	LOCALITÀ REGIONI TOSCANA E UMBRIA	LSC-146/ALL. A	
	PROGETTO Rifacimento Metanodotto Sansepolcro – Foligno e opere connesse	Pagina 6 di 30	Rev. 0

3 CARATTERISTICHE IDROLOGICHE

Per la stima delle caratteristiche idrologiche del torrente, si fa riferimento allo studio effettuato nell'ambito PAI da parte dell'Università degli Studi di Perugia per conto della Regione Umbria¹ mediante modellistica idrologica con stima della portata di massima piena al colmo in funzione del tempo di ritorno tramite un modello afflussi-deflussi.

In considerazione del fatto che la trasformazione afflussi-deflussi non comporta trasformazioni del tempo di ritorno, è stato assunto che l'idrogramma di progetto abbia lo stesso tempo di ritorno della precipitazione che lo ha generato. L'evento pluviometrico è stato schematizzato attraverso uno ietogramma sintetico con intensità stimata delle linee di possibilità pluviometrica (LSP), ricavate tramite l'applicazione del metodo dell'Autorità di Bacino del Tevere per i bacini dell'alto Tevere (v. Fig. 3/A).

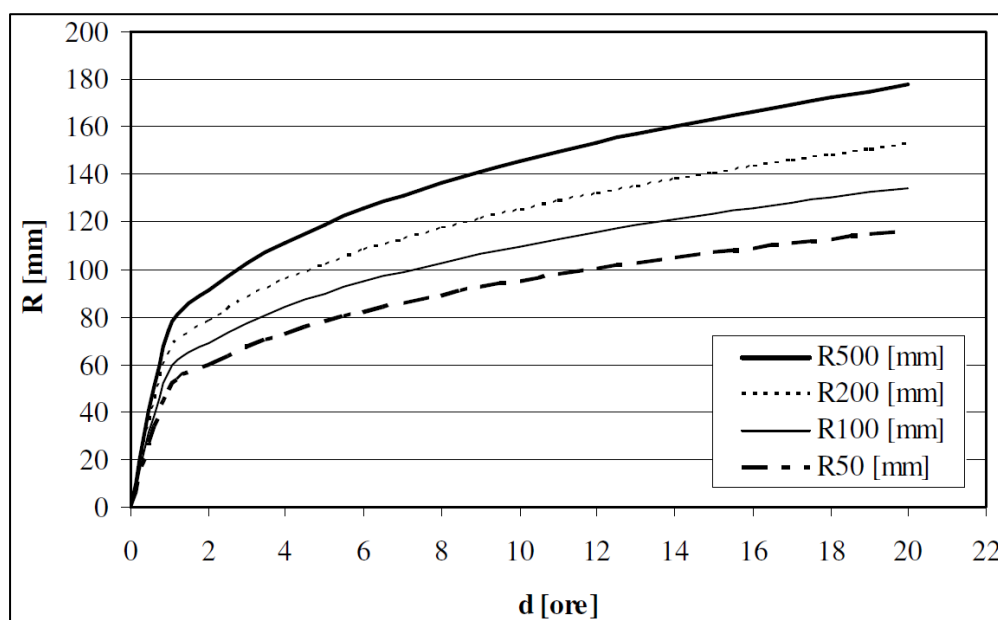


Figura 3/A – Linee segnalatrici di possibilità pluviometrica per i bacini Alto Tevere, metodo ABT

Lo studio idrologico ha ricostruito gli idrogrammi per diversi tempi di ritorno (v. Fig. 3/B) e quindi i seguenti valori delle relative portate di massima piena al colmo:

- $Q_{50} = 40 \text{ m}^3/\text{s}$
- $Q_{100} = 52 \text{ m}^3/\text{s}$
- $Q_{200} = 67 \text{ m}^3/\text{s}$
- $Q_{500} = 85 \text{ m}^3/\text{s}$

¹ "Valutazione del rischio idraulico nei nodi critici del reticolo idrografico dell'Alto Tevere e del Nera. Progetto per la redazione delle mappe di allagabilità" Dicembre 2001"

	PROGETTISTA  <small>consulenza materiali - ispezioni - saldatura progettazione - direzione lavori</small>	COMMESSA NR/20047	UNITÀ 00
	LOCALITÀ REGIONI TOSCANA E UMBRIA	LSC-146/ALL. A	
	PROGETTO Rifacimento Metanodotto Sansepolcro – Foligno e opere connesse	Pagina 7 di 30	Rev. 0

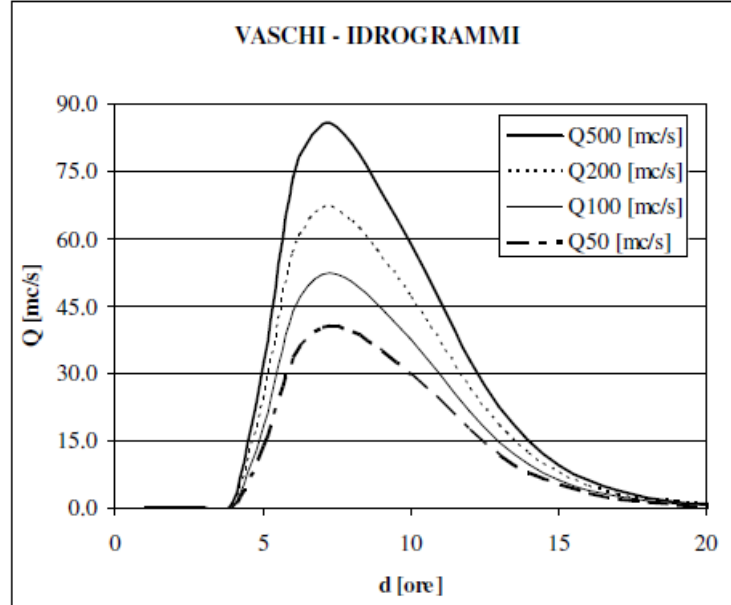


Figura 3/B – Idrogrammi di piena per diversi tempi di ritorno (da Studio UNIPG)

	PROGETTISTA  <small>consulenza materiali - ispezioni - saldatura progettazione - direzione lavori</small>	COMMESSA NR/20047	UNITÀ 00
	LOCALITÀ REGIONI TOSCANA E UMBRIA	LSC-146/ALL. A	
	PROGETTO Rifacimento Metanodotto Sansepolcro – Foligno e opere connesse	Pagina 8 di 30	Rev. 0

4 STUDIO IDRAULICO

4.1 Studio UNIPG per il PAI

La modellazione idraulica condotta da UNIPG ha portato alla definizione delle caratteristiche idrauliche del flusso di piena e alla perimetrazione delle fasce fluviali e delle aree a rischio di allagabilità.

I parametri idraulici di quota idrica, massimo tirante, velocità del flusso nel canale risultati da tale modellazione per diversi tempi di ritorno e per le sezioni a cavallo di quella in studio, sono riportati nella seguente tabella (Tab. 4.1/A), mentre le aree di allagabilità nella figura 4.1/A.

Come si può osservare le piene anche di tempo di ritorno più elevato rimangono confinate nell'ambito dell'alveo, particolarmente inciso.

Tronco	Sezione Topografica	Sezione HEC_RAS	Tempo di Ritorno (anni)	Portata Totale (m3/s)	Quota Idrica (m s.m.)	Tirante max (m)	Velocità golena sx (m/s)	Velocità canale (m/s)	Velocità golena dx (m/s)	N° Froude Canale (#)
Vaschi	12v	118	TR=50	40	295.83	1.72		1.70		0.49
Vaschi	12v	118	TR=100	52	296.07	1.96		1.83		0.49
Vaschi	12v	118	TR=200	67	296.35	2.24		1.98		0.49
Vaschi	12v	118	TR=500	86	296.67	2.56		2.12		0.49
Vaschi	11	110	TR=50	40	293.52	2.86		1.87		0.44
Vaschi	11	110	TR=100	52	293.87	3.21		2.02		0.46
Vaschi	11	110	TR=200	67	294.23	3.57		2.18		0.49
Vaschi	11	110	TR=500	86	294.61	3.95		2.33		0.50
Vaschi	10	100	TR=50	40	290.87	2.50		2.06		0.53
Vaschi	10	100	TR=100	52	291.2	2.83		2.20		0.52
Vaschi	10	100	TR=200	67	291.58	3.21		2.33		0.52
Vaschi	10	100	TR=500	86	292.02	3.65		2.46		0.51

Tabella 4.1/A – Parametri idraulici nelle sezioni prossime all'attraversamento in oggetto
(da UNIPG)

	PROGETTISTA  consulenza materiali - ispezioni - saldatura progettazione - direzione lavori	COMMESSA NR/20047	UNITÀ 00
	LOCALITÀ REGIONI TOSCANA E UMBRIA	LSC-146/ALL. A	
	PROGETTO Rifacimento Metanodotto Sansepolcro – Foligno e opere connesse	Pagina 9 di 30	Rev. 0

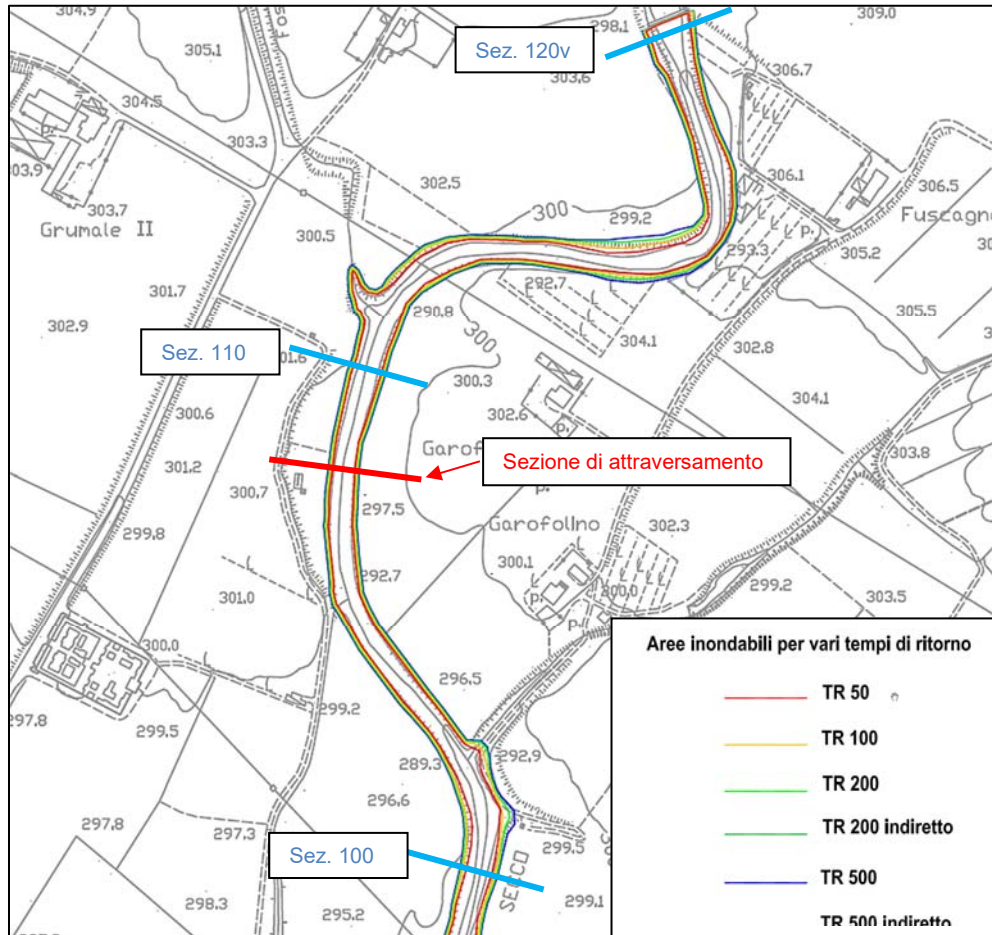


Figura 4.1/A - Mappa di allagabilità da parte del T. Vaschi per diversi Tr , con riportate le sezioni di modellazione (da studio UNIPG)

4.2 Modellazione locale

Per confronto con la modellazione del torrente Vaschi eseguita nell'ambito del PAI, è stata condotta una verifica locale sempre a moto permanente per un tempo di ritorno pari a 200 anni (come previsto da NTA di AdB Tevere) in corrispondenza del tratto di attraversamento, sulla base dell'attuale situazione geometrica dell'alveo ricostruita tramite sezioni rilevate allo scopo.

4.2.1 Metodologia adottata

L'elaborazione è stata eseguita per un tratto di fiume esteso a cavallo dell'attraversamento da parte del gasdotto in progetto per una lunghezza di circa 850 m, prendendo in considerazione il valore di portata relativo al tempo di ritorno di 200 anni, come risulta dallo studio UNIPG pari a $Q_{200} = 67 \text{ m}^3/\text{s}$.

I calcoli del profilo in moto permanente sono stati eseguiti per mezzo della costruzione di un modello numerico, utilizzando il codice HEC-RAS, Hydrologic Engineering Center - River Analysis System, prodotto dall'U.S. Army Corps of Engineers, di cui ampi riferimenti bibliografici sono disponibili in letteratura a riguardo sia delle basi teoriche, sia dello sviluppo numerico delle equazioni, sia di esperienze analoghe di applicazione già maturate in Italia e nel mondo.

	PROGETTISTA  <small>consulenza materiali - ispezioni - saldatura progettazione - direzione lavori</small>	COMMESSA NR/20047	UNITÀ 00
	LOCALITÀ REGIONI TOSCANA E UMBRIA	LSC-146/ALL. A	
	PROGETTO Rifacimento Metanodotto Sansepolcro – Foligno e opere connesse	Pagina 10 di 30	Rev. 0

Per le simulazioni è stata utilizzata la versione 6.0.0, che simula il flusso monodimensionale in condizioni stazionarie di fluidi verticalmente omogenei in qualsiasi sistema di canali o aste fluviali.

Il modello Hec-Ras permette di calcolare, per canali naturali od artificiali, il profilo idrico di correnti gradualmente variate ed in condizioni di moto stazionario (sia in regime di corrente lenta che di corrente veloce).

La scelta di operare con un modello che simuli le condizioni di moto permanente, scaturisce dalle seguenti considerazioni:

- la verifica idraulica considera un tratto limitato dell'asta fluviale nell'intorno della zona di interesse;
- il dimensionamento dell'intervento non dipende dallo sviluppo temporale dell'evento di piena, ma solo dal massimo valore di livello idrico raggiunto durante l'evento stesso e dai regimi delle velocità previste.

Le equazioni di conservazione del volume e della quantità di moto (equazioni di De Saint Venant) risolte nel modello sono derivate sulla base delle seguenti assunzioni:

- il fluido (acqua) è incomprimibile ed omogeneo, cioè senza significativa variazione di densità;
- la pendenza del fondo è piccola;
- le lunghezze d'onda sono grandi se paragonate all'altezza d'acqua, in modo da poter considerare la direzione della corrente in ogni punto parallela al fondo; è cioè trascurabile la componente verticale dell'accelerazione e su ogni sezione trasversale alla corrente si può assumere una variazione idrostatica della pressione.

Integrando le equazioni di conservazione della massa e della quantità di moto ed introducendo la resistenza idraulica (attrito) e le portate laterali adottate si ottiene:

$$\frac{\partial Q}{\partial x} + \frac{\partial A}{\partial t} = q$$

$$\frac{\partial Q}{\partial t} + \frac{\partial}{\partial x} \left(\alpha \frac{Q^2}{A} \right) + gA \frac{\partial h}{\partial x} + \frac{gQ|Q|}{C^2 AR} = 0$$

dove:

- | | | |
|---|---|--|
| A | : | area della sezione bagnata (m ²); |
| C | : | coefficiente di attrito di Chezy (m ^{1/2} /s); |
| g | : | accelerazione di gravità (m/s ²); |
| h | : | altezza del pelo libero rispetto ad un livello di riferimento orizzontale (m); |
| Q | : | portata (m ³ /s); |
| R | : | raggio idraulico (m); |
| α | : | coefficiente di distribuzione della quantità di moto; |
| q | : | portata laterale addotta (m ³ /s). |

Assetto geometrico

HEC-RAS richiede la schematizzazione del corso d'acqua con tratti successivi di lunghezza variabile individuati alle estremità da sezioni di geometria nota. La posizione delle sezioni trasversali va scelta in modo da descrivere in maniera adeguata il tratto considerato prevedendo, in linea di massima, sezioni più fitte nei tratti dove la geometria trasversale dell'alveo risulta molto

	PROGETTISTA  <small>consulenza materiali - ispezioni - saldatura progettazione - direzione lavori</small>	COMMESSA NR/20047	UNITÀ 00
	LOCALITÀ REGIONI TOSCANA E UMBRIA	LSC-146/ALL. A	
	PROGETTO Rifacimento Metanodotto Sansepolcro – Foligno e opere connesse	Pagina 11 di 30	Rev. 0

variabile e più rade nei tratti in cui la geometria si mantiene piuttosto uniforme. In ogni sezione sono individuati l'alveo principale e le golene, i relativi coefficienti di Manning (scabrezza) e le eventuali arginature. Il modello è in grado di simulare gli effetti indotti sui livelli dalla presenza di sezioni singolari quali ponti, tombini, stramazzi ed ostruzioni dell'alveo.

Nel caso della modellazione in oggetto non si è fatto riferimento ad alcuna ramificazione dell'alveo simulato, implementando modelli completamente monodimensionali sulla base della geometria dell'alveo.

Condizioni al contorno

Le condizioni al contorno sono necessarie per stabilire il livello del pelo libero dell'acqua all'estremità del sistema (a monte e/o a valle). In un regime di corrente lenta, la condizione al contorno necessaria è quella di valle (se la corrente è lenta non si risente di ciò che accade a monte), mentre nel caso di corrente veloce vale l'opposto. Se invece viene effettuato un calcolo in regime di flusso misto, allora le condizioni al contorno devono essere definite a valle e a monte.

Calcolo della velocità di deflusso

Il valore della velocità media, calcolato dal modello in riferimento alla geometria complessiva di ogni sezione trasversale, è oggetto di una reinterpretazione all'interno della sezione trasversale per la corretta valutazione del valore della velocità di deflusso da attribuire all'alveo e alla zona golenale (qualora presente) e da considerare nel calcolo del carico totale.

Il calcolo è eseguito in riferimento alle seguenti formulazioni, che si basano sulla conservazione del valore della pendenza motrice per l'intera sezione:

$$Q = k_s \cdot A \cdot R^{2/3} \cdot i^{1/2}$$

è l'equazione di Chezy, scritta con la notazione di Gauckler-Strickler per la scabrezza, con:

- k_s coefficiente di scabrezza di Strickler
- A area della sezione bagnata (m^2)
- R raggio idraulico (m)
- i pendenza motrice.

Si assume che la scabrezza possa variare lungo i singoli tratti di una sezione, e che la pendenza motrice sia costante nei tratti compresi tra due sezioni del modello.

Risultati dei calcoli idraulici

Oltre ai valori di portata e di livello calcolati direttamente dal codice di calcolo, il modello fornisce in output anche i valori dell'area, larghezza del pelo libero, della velocità, dell'altezza d'acqua e del numero di Froude per ogni sezione di calcolo. E' fornita anche la linea del carico totale ottenuta come:

$$H = h + \alpha \frac{V^2}{2g}$$

dove:

- h livello idrico (m)
- α coefficiente di ragguglio
- V velocità media nella sezione trasversale (m/s)
- g accelerazione di gravità (m/s^2).

	PROGETTISTA  <small>consulenza materiali - ispezioni - saldatura progettazione - direzione lavori</small>	COMMESSA NR/20047	UNITÀ 00
	LOCALITÀ REGIONI TOSCANA E UMBRIA	LSC-146/ALL. A	
	PROGETTO Rifacimento Metanodotto Sansepolcro – Foligno e opere connesse	Pagina 12 di 30	Rev. 0

4.2.2 Ricostruzione dei livelli di piena

La verifica idraulica ha lo scopo di valutare i livelli idrici raggiunti dalla piena di progetto nel tratto di interesse ed i relativi parametri idraulici, in situazione ante e post intervento, qualora diverse. Per la modellazione sono state usate 5 sezioni topografiche, delle quali 3 rilevate allo scopo e 2 desunte dalla modellazione UNIPG; l'ubicazione è riportata nella planimetria di Fig. 4.2.2/A. In tal modo si attualizza e integra la morfologia del tratto di corso, rispetto ai rilievi utilizzati per la modellazione PAI, rilevati ormai parecchi anni orsono.

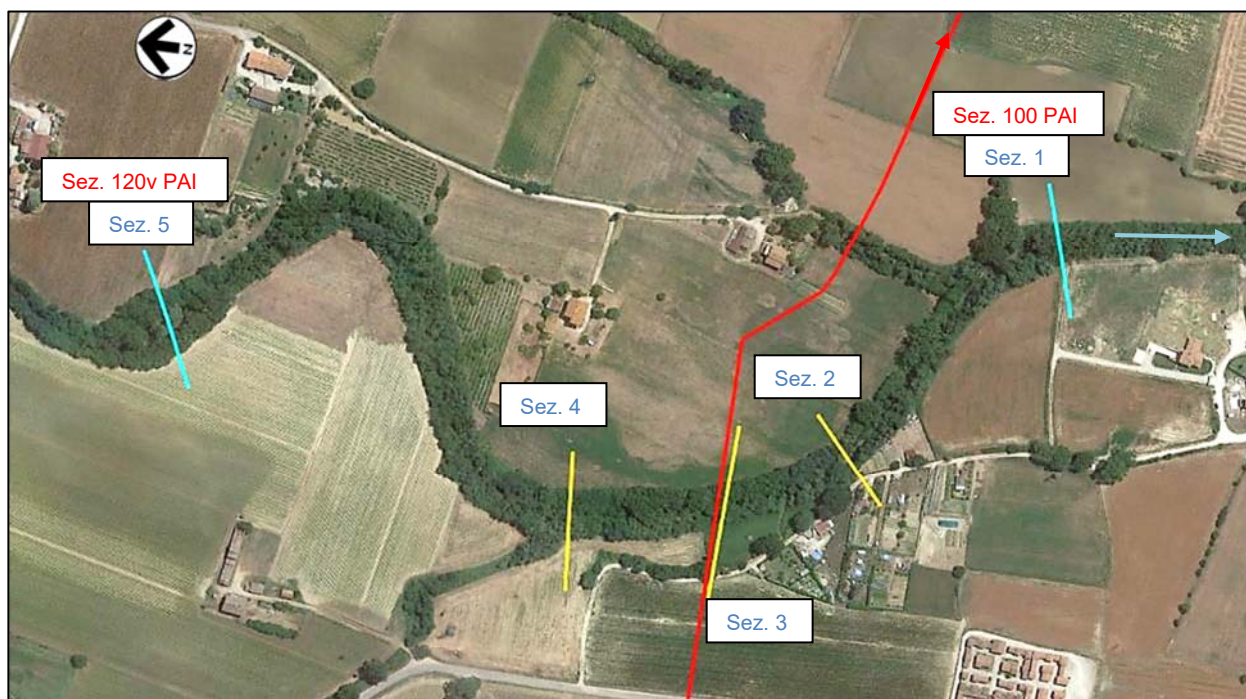


Figura 4.2.2/A – Ubicazione delle sezioni idrauliche
(in rosso tracciato metanodotto, in giallo sezioni rilevate, in azzurro sezioni PAI)

4.2.3 Risultati della modellazione

La modellazione è stata eseguita con i valori di portata di massima piena al colmo per un evento duecentennale ($Q= 67 \text{ m}^3/\text{s}$), come valutato dallo studio UNIPG per il tratto di corso.

Le verifiche hanno evidenziato che i relativi flussi idrici sono ampiamente contenuti nelle sezioni di deflusso, senza determinare alcuna esondazione né in sinistra né in destra. Tale risultato converge con la modellazione PAI; anche i livelli idrici di piena risultano allineati.

I risultati della modellazione locale nel tratto a cavallo dell'attraversamento sono riportati in allegato 1, dove figurano il profilo idrico, le sezioni indicanti i livelli raggiunti dalle portate di piena di progetto nonché le tabelle di dettaglio con i vari parametri idraulici per le singole sezioni esaminate.

I valori dei principali parametri vengono riassunti nella tabella di seguito riportata (v. Tab. 4.2.3/A) e il profilo longitudinale viene raffigurato in Figura 4.2.3/A.

In sintesi, in relazione al tratto di interesse per i lavori in oggetto, si può osservare quanto segue:

	PROGETTISTA  <small>consulenza materiali - ispezioni - saldatura progettazione - direzione lavori</small>	COMMESSA NR/20047	UNITÀ 00
	LOCALITÀ REGIONI TOSCANA E UMBRIA	LSC-146/ALL. A	
	PROGETTO Rifacimento Metanodotto Sansepolcro – Foligno e opere connesse	Pagina 13 di 30	Rev. 0

- per tutto il tratto modellato, in caso di piena duecentennale, le sezioni sono in grado di smaltire le portate idrologiche attese per il tempo di ritorno di 200 anni, che non determinano esondazione;
- la corrente è di tipo lenta con n. Froude pari a circa 0.45-0.70;
- nella sezione di attraversamento il battente è di 3.23 m e la velocità della corrente nel canale è di 2.15 m/s;
- mediamente nel canale si hanno tiranti idrici compresi tra 2.3 e 3.6 m con velocità di 1.88 e 2.92 m/s.

Sezione	Portata	Quota fondo	Livelli idrici	Battenti idrici	Vel. golena sin	Vel. canale	Vel. golena dx	n. Froude
	(m ³ /s)	(m)	(m)	(m)	(m/s)	(m/s)	(m/s)	-
5	67	294.11	296.43	2.32	-	1.88	-	0.46
4	67	291.18	294.21	3.03	-	2.52	-	0.56
3	67	290.52	293.75	3.23	-	2.15	-	0.45
2	67	289.49	293.10	3.61	-	2.77	-	0.61
1	67	288.37	291.15	2.78	-	2.92	-	0.70

Tabella 4.2.3/A - Principali parametri idraulici nel tratto modellato
(in grassetto la sezione d'attraversamento del metanodotto)

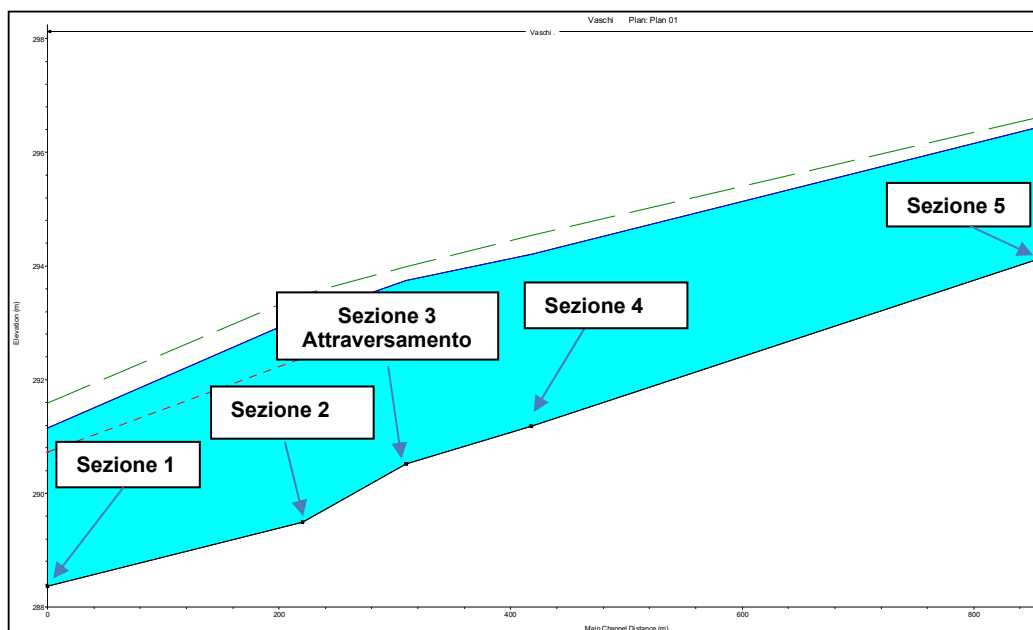


Figura 4.2.3/A – Profilo longitudinale con livello idrico duecentennale

	PROGETTISTA  <small>consulenza materiali - ispezioni - saldatura progettazione - direzione lavori</small>	COMMESSA NR/20047	UNITÀ 00
	LOCALITÀ REGIONI TOSCANA E UMBRIA	LSC-146/ALL. A	
	PROGETTO Rifacimento Metanodotto Sansepolcro – Foligno e opere connesse	Pagina 14 di 30	Rev. 0

5 RISCHI IDRAULICI

I rischi cui è soggetta una tubazione in corrispondenza di un attraversamento fluviale, o di un tratto di parallelismo, sono i seguenti:

1. Erosione di fondo alveo
2. Approfondimento di fondo alveo
3. Erosione spondale e relativo spostamento laterale dell'alveo
4. Cambio di percorso e taglio di meandro

5.1 Erosione di fondo alveo

L'erosione del fondo alveo può aver luogo a seguito della velocità della corrente rispetto ad una situazione di equilibrio, come avviene in concomitanza con le fasi di piena e in corrispondenza di zone singolari come anse, confluenze, restringimenti. Si distingue tra erosione generale lungo un tratto di corso ed erosione locale (v. **Figura**).

L'erosione generale avviene a seguito di complesse interazioni tra flusso idrico, trasporto solido e morfologia del canale in genere in fase di piena. Erosione "intermittente" ha luogo durante piene in corsi d'acqua a fondo mobile quando il fondo alveo si abbassa per asportazione del materiale al fondo in corrispondenza delle massime portate (quindi massima velocità), per poi essere soggetto a sedimentazione nelle code di piena, quando la velocità diminuisce.

L'occorrenza di questo pericoloso fenomeno risulta di difficile riscontro a posteriori perché spesso non si ha una variazione del profilo di fondo pre e post piena, ma, appunto per questo, rappresenta un serio pericolo per le tubazioni installate sotto i fondi alveo a letto mobile, che possono risultare danneggiate (abrasione della protezione, bugnatura, ecc.) senza che ce ne sia evidenza, se non con esami tipo passaggio di pig.

L'erosione locale si verifica a causa di un'accelerazione della corrente a causa di una ostruzione o costrizione del flusso in corrispondenza di pile e spalle dei ponti, scogliere, massi o grossi tronchi presenti sul fondo che determinano vortici con aumento della velocità e conseguente erosione locale dei sedimenti.

I valori della profondità d'erosione possono essere stimati quantitativamente, seppur con grande cautela, sulla base delle caratteristiche idrauliche e morfologiche del corso, come indicato nel successivo paragrafo.

	PROGETTISTA  <small>consulenza materiali - ispezioni - saldatura progettazione - direzione lavori</small>	COMMESSA NR/20047	UNITÀ 00
	LOCALITÀ REGIONI TOSCANA E UMBRIA	LSC-146/ALL. A	
	PROGETTO Rifacimento Metanodotto Sansepolcro – Foligno e opere connesse	Pagina 15 di 30	Rev. 0

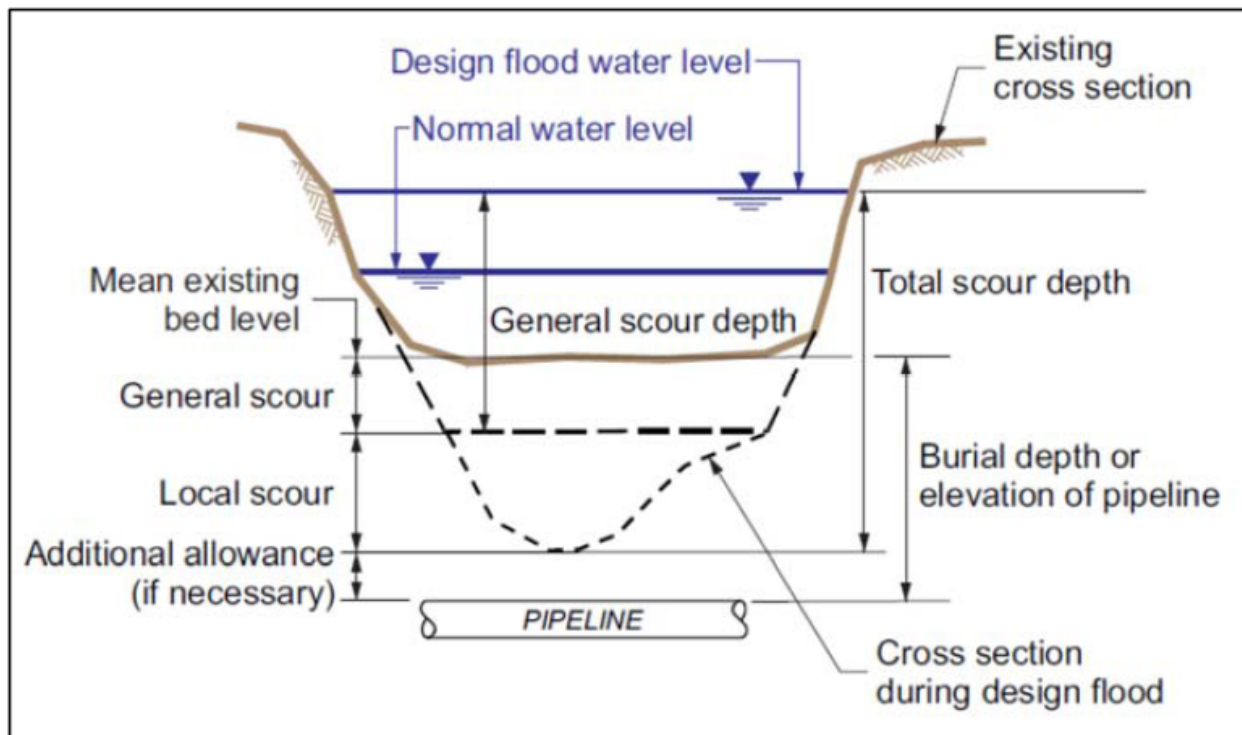


Figura 5.1/A – Schema di erosione generale e locale (da Veldeman, 2008)

5.2 Approfondimento di fondo alveo

Mentre per erosione di fondo si intende il fenomeno causato dal singolo evento di piena, il termine approfondimento si rivolge alla modellazione che interessa in genere lunghi tratti fondo alveo a seguito di prolungati periodi di flusso. Si potrebbe chiamare tendenza evolutiva all'approfondimento del fondo alveo.

Questo fenomeno è il risultato di un complicato processo di modellazione della morfologia del canale che tende a trovare un equilibrio con il regime di flusso.

Esso può aver luogo per aumento delle portate nel tempo, per diminuzione del materiale solido disponibile, per modifiche alla tipologia di corso (ad es. da multicursale a monocursale).

La stima della tendenza evolutiva necessita del confronto di profili fluviali rilevati in tempi diversi, nonché di osservazioni su manufatti presenti lungo il corso da tempo.

5.3 Erosione spondale

Le complesse modalità di trasporto e deposito del materiale alluvionale e le variazioni di velocità lungo il profilo e le sezioni fluviali, possono comportare l'erosione e lo spostamento laterale delle sponde. Tale fenomeno risulta accentuato nella parte esterna delle anse e dei meandri e nei corsi d'acqua a rami intrecciati. L'erosione può svilupparsi lentamente su lunghi periodi, ma anche nel breve volgere di una piena. La stima dell'esistenza del fenomeno si basa su osservazioni morfologiche delle sponde, delle condizioni della copertura vegetazionale e quando disponibili da misure topografiche effettuate nel tempo. Più difficile risulta stimare la potenzialità del processo quando esso non si è ancora manifestato o è quiescente da tempo.

Il processo erosivo delle sponde comporta forti rischi per le curve di discesa/risalita delle tubazioni, che, se non localizzate a sufficiente distanza, possono venir direttamente coinvolte dal flusso idrico.

	PROGETTISTA  <small>consulenza materiali - ispezioni - saldatura progettazione - direzione lavori</small>	COMMESSA NR/20047	UNITÀ 00
	LOCALITÀ REGIONI TOSCANA E UMBRIA	LSC-146/ALL. A	
	PROGETTO Rifacimento Metanodotto Sansepolcro – Foligno e opere connesse	Pagina 16 di 30	Rev. 0

5.4 Cambio di percorso e taglio di meandro

In particolari situazioni il corso d'acqua può abbandonare il suo percorso e formare un nuovo canale. Tipiche situazioni sono in corrispondenza delle conoidi in ambiente montano, dove l'elevato trasporto solido può provocare al cambio di pendenza improvvisi depositi e ostruzioni del corso, di corsi d'acqua a rami intrecciati con passaggio da un ramo all'altro e di meandri nelle zone di bassa pianura con la formazione del cosiddetto "taglio di meandro". La differenza tra i vari processi è che nei primi due casi il fenomeno si compie in genere nel corso di un singolo evento di piena, mentre nell'ultimo progressivamente su tempi molto più lunghi.

Condotte posizionate in corrispondenza delle zone di nuovo percorso del fiume sono ovviamente a rischio di essere coinvolte dal fenomeno. In particolare potrebbe accadere che il flusso si imponesse lungo la trincea di posa della tubazione, grazie alla generale minore resistenza dei terreni di riempimento rispetto al terreno in posto.

5.5 Stima dello spessore di erosione generalizzata in caso di evento critico

L'erosione generale del fondo di un corso d'acqua corrisponde all'abbassamento del letto che si può verificare durante una piena in un tratto di corso. La possibilità che una tubazione venga esposta a causa dell'erosione in un evento di piena si stima tramite la valutazione del massimo spessore di fondo alveo asportabile dalla piena di dato periodo di ritorno. Se la quota della generatrice superiore della condotta è superiore al livello di erosione previsto, allora la tubazione è da considerarsi vulnerabile nei confronti dell'evento di piena considerato.

Il fenomeno è rappresentato da abbassamenti spesso transitori e reversibili dell'alveo a fondo mobile in fase di piena di difficile valutazione sia sperimentale che analitica. Essi dipendono dalle caratteristiche idrodinamiche della corrente e dal tipo di materiale costituente il fondo.

Le ricerche condotte portano ad interpretare il fenomeno nei terreni prevalentemente sabbiosi come la conseguenza di una pronunciata ondulazione del fondo che, ad opera dei cavi, incide il profilo d'alveo. Poiché il sistema di tali dune trasla verso valle, tutto l'alveo gradatamente viene interessato dalla massima depressione dei cavi.

Negli alvei torrentizi con terreni grossolani (ghiaia e ciottoli), invece, il fenomeno consiste nel rapido ed intenso modellamento del fondo con formazione di profondi solchi divaganti tra le sponde.

Il fenomeno dell'aratura di fondo è di difficile modellazione a causa delle numerosissime variabili che entrano in gioco e soprattutto delle condizioni locali, difficilmente prevedibili, che governano la dinamica del fenomeno stesso.

	PROGETTISTA  <small>consulenza materiali - ispezioni - saldatura progettazione - direzione lavori</small>	COMMESSA NR/20047	UNITÀ 00
	LOCALITÀ REGIONI TOSCANA E UMBRIA	LSC-146/ALL. A	
	PROGETTO Rifacimento Metanodotto Sansepolcro – Foligno e opere connesse	Pagina 17 di 30	Rev. 0

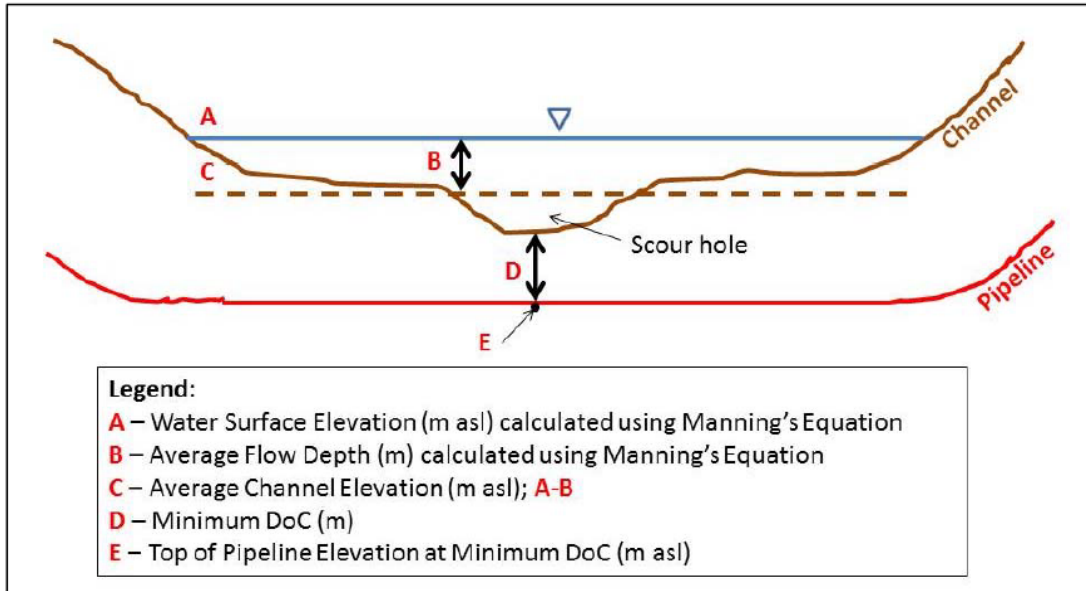


Figura 5.5/A – Schema di calcolo dell'erosione di fondo (da Veldeman, 2008)
 (DoC=depth of cover, spessore di copertura)

La stima dello spessore di erosione per una data portata di progetto è assai problematica stanti i vari parametri che in effetti governano il fenomeno: geometria della sezione, caratteristiche del sedimento in posto, trasporto solido, caratteristiche del flusso idrico, ecc.; pertanto, al di là delle trattazioni analitiche, richiede grande sensibilità ed esperienza.

Tra i metodi analitici di facile approccio si segnala quello proposto da *Yamremko and Cooper (1983)* che assume la proporzionalità dello spessore di erosione in corrispondenza di un dato evento idrologico critico con l'altezza idrometrica media (=rapporto tra area del flusso e perimetro bagnato) secondo la seguente relazione:

$$d_s = z_n \cdot d_m$$

dove: d_s = spessore dell'erosione al di sotto del letto
 d_m = altezza idrometrica al di sopra del livello medio del canale inciso
 z_n = fattore di correzione, funzione della morfologia del canale (v. Tab. 5.5/A).

Channel Morphology	Correction Factor (z-factor)
Straight Reach	0.25
Moderate Bend	0.5
Severe Bend	0.75

Tabella 5.5/A – Fattore empirico di correzione
 (da Joyce and Chandler, 2004)

	PROGETTISTA  <small>consulenza materiali - ispezioni - saldatura progettazione - direzione lavori</small>	COMMESSA NR/20047	UNITÀ 00
	LOCALITÀ REGIONI TOSCANA E UMBRIA	LSC-146/ALL. A	
	PROGETTO Rifacimento Metanodotto Sansepolcro – Foligno e opere connesse	Pagina 18 di 30	Rev. 0

Simile al metodo soprariportato di *Yamremko and Cooper*, si può far ricorso al metodo cosiddetto *Regime di Neill* (1964) secondo il quale:

$$d_s = z'_n \cdot d_i \cdot (q_i/q_p)^m$$

dove: d_s = spessore dell'erosione al di sotto del letto

d_i = altezza idrometrica sopra il livello medio del canale inciso in caso di piene rive

z'_n = fattore di correzione, funzione della morfologia del canale (v. Tab. 5.5/B)

q_i, q_p = rispettivamente la portata unitaria nel caso di piene rive e di piena di progetto

m = esponente pari a $0.67 \div 0.85$ in funzione della granulometria.

Channel Morphology	Correction Factor (z-factor)
Straight Reach	0.5
Moderate Bend	0.6
Severe Bend	0.7

Tabella 5.5/B – Fattore empirico di correzione
(da Pemberton and Lara, 1984)

In Italia è anche prassi utilizzare una prudenziale generalizzazione, proposta da Zanovello², che valuta l'erosione di fondo transitoria durante le piene pari al 50% del battente idrico, indipendentemente dalla natura del fondo e dal regime di corrente.

Nel tratto in esame si calcola che eventuali fenomeni di erosione generalizzata potrebbero avere una profondità massima di 1.14, in assenza di opere di protezione e stabilizzazione d'alveo.

5.6 Approfondimenti localizzati (buche in alveo)

Essi consistono in fenomeni di scavo localizzato, che si producono nel letto di un fiume in genere in fase di piena, dovuti perlopiù ai seguenti motivi:

- allontanamento della corrente dalle condizioni di moto uniforme e creazione di filetti particolarmente veloci
- presenza di ostacoli trasversali al moto
- irregolarità geometriche dell'alveo.

In qualche caso essi sono ben prevedibili, come ad es. in corrispondenza di manufatti (pile di ponti, testa di pennelli, a valle di briglie, etc.); in altri casi essi dipendono da situazioni contingenti, spesso casuali, che si vengono a produrre in fase di piena (tronchi d'albero, trovanti, etc.).

Il meccanismo che porta alla formazione delle buche può avvenire secondo i due seguenti schemi:

- vena veloce superficiale con sottostante zona di turbolenza in cui il materiale di fondo viene eroso all'indietro, indi sollevato e portato via dalla vena superficiale

² Zanovello A., Sulle variazioni di fondo alveo durante le piene. L'Energia elettrica, XXXIV, n. 8; 1959.

	PROGETTISTA  <small>consulenza materiali - ispezioni - saldatura progettazione - direzione lavori</small>	COMMESSA NR/20047	UNITÀ 00
	LOCALITÀ REGIONI TOSCANA E UMBRIA	LSC-146/ALL. A	
	PROGETTO Rifacimento Metanodotto Sansepolcro – Foligno e opere connesse	Pagina 19 di 30	Rev. 0

- vena veloce aderente al fondo che trasporta il materiale verso valle, con sovrastante zona di turbolenza.

La buca non si approfondisce indefinitamente, ma tende ad una condizione d'equilibrio con pendenze prossime all'angolo di riposo del materiale d'alveo. La profondità della buca (s) è di incerta stima; fra le numerose relazioni proposte dagli Autori si ricordano le seguenti:

$$s = 0,378 \cdot H^{0,5} \cdot q^{0,35} + 2,15 \cdot a \quad (\text{Schoklitsch})^3$$

$$s = 0,65 \cdot (H-h') \cdot q^{3/5} \cdot D_{90}^{-2/5} - h \quad (\text{Eggemberger})$$

$$s = h \cdot (1,82 - 1,64(1 - e^{-(lg \tau_c / \rho v^2 + 7)})) \cdot (94 - 8 \lg \tau_c / \rho v^2)^{-1} \cdot 10^3 \quad (\text{Adami})^4.$$

Nel presente studio è stata utilizzata la relazione di Schoklitsch nella quale:

- s** = profondità massima della buca sulla quota media dell'alveo (m);
H = $h + v^2/2g$: carico totale a monte della buca (m);
h = altezza idrometrica sul livello medio del fondo⁵;
v = velocità media nell'alveo inciso (m/s);
q = Q/L: portata per unità di larghezza dell'alveo (m³/s m);
Q = portata nell'alveo inciso (m³/s);
L = larghezza dell'alveo inciso (m);
a = dislivello delle quote d'alveo a monte e a valle della buca.

E' stato eseguito il calcolo per la sezione di attraversamento, utilizzando i valori dei parametri output del programma di calcolo Hec Ras per tale sezione, come riportato nella seguente tabella:

Altezza canale	h_{ch}	2,27 m
Velocità canale	v_{ch}	2,15 m/s
Portata canale	Q_{ch}	67,00 m ³ /s
Larghezza canale	L_{ch}	13,76 m
Portata unitaria	q_{ch}	4,87 m ³ /s/m
Carico totale	H_{ch}	2,34 m
Dislivello buca	a	0,01 m
Approf. local.	s	1,03 m

Nel tratto in esame si calcola che eventuali buche, in assenza di opere di protezione del fondo alveo, potrebbero avere una profondità massima di 1.03 m.

Diametro limite dei clasti

Si è proceduto alla determinazione del diametro limite dei clasti trasportabili dalla piena, utilizzando il procedimento di Shields secondo il quale sussiste la relazione sottoriportata che

³ Schoklitsch, A, Stauraum verlandung und kolkbewehr, Springer Ed., Vienna, 1935.

⁴ Adami A., Fenomeni localizzati ed erosioni negli alvei, Atti "Moderne vedute sulla meccanica dei fenomeni fluviali", CNR; P.F. Conservazione del suolo, 1979.

⁵ Hydr Depth C Hydraulic depth in channel (channel flow area/topwidth of channel flow)

	PROGETTISTA  <small>consulenza materiali - ispezioni - saldatura progettazione - direzione lavori</small>	COMMESSA NR/20047	UNITÀ 00
	LOCALITÀ REGIONI TOSCANA E UMBRIA	LSC-146/ALL. A	
	PROGETTO Rifacimento Metanodotto Sansepolcro – Foligno e opere connesse	Pagina 20 di 30	Rev. 0

lega la spinta idrodinamica su particelle di granulometria uniforme e la distribuzione delle velocità lungo la verticale:

$$\tau_o / [(\gamma_s - \gamma)d] = f [(d(ghi)^{1/2} / \mu)] = f (V^* d / \mu)$$

in cui:

- τ_o = tensione tangenziale (kg/m^2);
- γ_s = peso specifico delle particelle (kg/m^3);
- γ_w = peso specifico dell'acqua (1000 kg/m^3);
- d = diametro medio del materiale di fondo ($d = d_{50}$) (m);
- g = accelerazione di gravità ($g = 9.81 \text{ m/s}^2$);
- h = profondità della corrente idrica (m);
- i = pendenza del fondo alveo;
- μ = viscosità cinematica (m^2/s);
- V^* = velocità d'attrito (m/s);

Si ha inoltre:

$$V^* = (\tau_o / \delta)^{1/2} \quad \text{e} \quad \tau_o = (V^2 / X^2)$$

in cui:

- δ = densità dell'acqua ($= 102 \text{ kg} \cdot \text{s}^2 / \text{m}^4$);
- V = velocità media della corrente idrica (m/s);
- X = coefficiente di scabrezza.

Queste ultime grandezze sono note per cui è possibile determinare il valore di " τ_o " e di " V^* "; inoltre, per valori di " V^*d / μ " maggiori di 500, che nei corsi d'acqua naturali si verificano con alvei ciottolosi, il valore " $\tau_o / [(\gamma_s - \gamma_w)d]$ " è costante ed è pari a 0.06, cioè:

$$\tau_o / [(\gamma_s - \gamma_w)d] = 0.06$$

Esplicitando tale relazione in funzione dell'unica incognita si otterrà il diametro limite dei clasti trasportabili:

$$d = \tau_o / [0.06 (\gamma_s - \gamma_w)]$$

Sulla base dei risultati della modellazione idraulica è emerso che nella sezione interessata dall'attraversamento del metanodotto in progetto la corrente può esercitare nel canale una tensione tangenziale massima in caso di piena duecentennale $\tau_o = 148 \text{ N/m}^2$, cui corrisponde una capacità di trasporto massima di un clasto di circa 18 cm. Questo in corrispondenza dell'alveo attivo.

5.7 Risultati delle verifiche

Sulla base dei risultati delle verifiche idrauliche effettuate, delle informazioni cartografiche e di immagini aeree riprese in periodi diversi, nonché dei sopralluoghi condotti in posto, si possono effettuare le seguenti osservazioni:

- stabilità planimetrica: essendo le sponde fissate dalla vegetazione, poco a valle di un ponte che ne fissa la posizione, e dalle evidenze di assenza di fenomeni erosivi laterali, si ritiene che il corso d'acqua risulti planimetricamente stabile; anche l'esame di immagini aeree pregresse confermano la sostanziale stabilità planimetrica;
- stabilità altimetrica: non si sono osservati evidenti segni di tendenza all'approfondimento generalizzato dell'alveo;

	PROGETTISTA  <small>consulenza materiali - ispezioni - saldatura progettazione - direzione lavori</small>	COMMESSA NR/20047	UNITÀ 00
	LOCALITÀ REGIONI TOSCANA E UMBRIA	LSC-146/ALL. A	
	PROGETTO Rifacimento Metanodotto Sansepolcro – Foligno e opere connesse	Pagina 21 di 30	Rev. 0

- approfondimenti temporanei in fase di piena: gli spessori di fondo alveo mobilizzabili temporaneamente in fase di piena si sono stimati, utilizzando la metodologia sopra riportata, in circa 1.14 m, e la profondità di buche locali in alveo risulta pari a circa 1.03 m.

	PROGETTISTA  <small>consulenza materiali - ispezioni - saldatura progettazione - direzione lavori</small>	COMMESSA NR/20047	UNITÀ 00
	LOCALITÀ REGIONI TOSCANA E UMBRIA	LSC-146/ALL. A	
	PROGETTO Rifacimento Metanodotto Sansepolcro – Foligno e opere connesse	Pagina 22 di 30	Rev. 0

6 CONSIDERAZIONI CONCLUSIVE

Il tracciato del metanodotto in oggetto “*Metanodotto Sansepolcro-Foligno, DN 400 (16”) – DP 75 bar*” attraversa l’alveo del torrente Vaschi, nel territorio del comune di Città di Castello (PG) alla progressiva PK 16+367 km.

La sezione prevista di attraversamento si localizza nell’ambito della parte terminale del corso d’acqua, a circa 2.5 km dalla sua confluenza in Tevere. L’alveo, inciso nel fondovalle vallivo dolcemente digradante verso il Tevere, è fissato da vegetazione spondale.

L’alveo ha una larghezza di fondo di circa 4 m, incassato 7-8 m nel dal piano campagna.

Il terreno che costituisce il fondo alveo è costituito da alluvione fluviale prevalentemente di natura incoerente sabbio-ghiaiosa nei primissimi metri, che ricopre il substrato argilloso-limoso.

Lo studio idrologico-idraulico condotto per il tratto a cavallo dell’attraversamento ha evidenziato che le portate di massima piena sono contenute nelle sezioni e non provocano esondazione, né in sinistra né in destra. Questo converge con quanto risulta dalla modellazione in ambito PAI.

I parametri della corrente in corrispondenza dell’attraversamento sono così riassumibili:

- battente idrico: 3.23 m
- velocità della corrente: 2.15 m/s

Sulla base di tali parametri si sono stimati anche gli eventuali massimi approfondimenti che l’alveo, qualora privo di interventi di protezione, potrebbe subire in fase di piena critica pari a circa 1.1 m.

La tubazione verrà installata in subalveo con la tecnica trenchless della trivellazione orizzontale controllata, ad una profondità che garantisce una copertura minima di 10.3 m.

	PROGETTISTA  <small>consulenza materiali - ispezioni - saldatura progettazione - direzione lavori</small>	COMMESSA NR/20047	UNITÀ 00
	LOCALITÀ REGIONI TOSCANA E UMBRIA	LSC-146/ALL. A	
	PROGETTO Rifacimento Metanodotto Sansepolcro – Foligno e opere connesse	Pagina 23 di 30	Rev. 0

ALLEGATO 1

RISULTATI DELLA MODELLAZIONE IDRAULICA

Tr= 200 anni

	PROGETTISTA  <small>consulenza materiali - ispezioni - saldatura progettazione - direzione lavori</small>	COMMESSA NR/20047	UNITÀ 00
	LOCALITÀ REGIONI TOSCANA E UMBRIA	LSC-146/ALL. A	
	PROGETTO Rifacimento Metanodotto Sansepolcro – Foligno e opere connesse	Pagina 24 di 30	Rev. 0

LEGENDA

Reach	Ramo fluviale
River Sta	Sezione fluviale
Q Total (m ³ /s)	Portata complessiva defluente nell'intera sezione trasversale
Min Ch El (m)	Minima quota dell'alveo nel canale principale
W.S. Elev (m)	Quota del pelo libero
Crit W.S. (m)	Quota critica del pelo libero
E.G. Elev (m)	Quota della linea del carico totale per il profilo liquido calcolato
E.G. Slope (m/m)	Pendenza della linea del carico totale
Vel Chnl (m/s)	Velocità media nel canale principale
Flow Area (m ²)	Area totale della sezione liquida effettiva
Top Width (m)	Larghezza superficiale della sezione liquida
Froude # Chl	Numero di Froude nell'alveo principale
EG PF....	Linea del carico totale per il profilo liquido calcolato
WS PF....	Linea del pelo libero per il profilo liquido calcolato
Ground	Profilo del terreno
Bank Sta	Limite della sponda fluviale

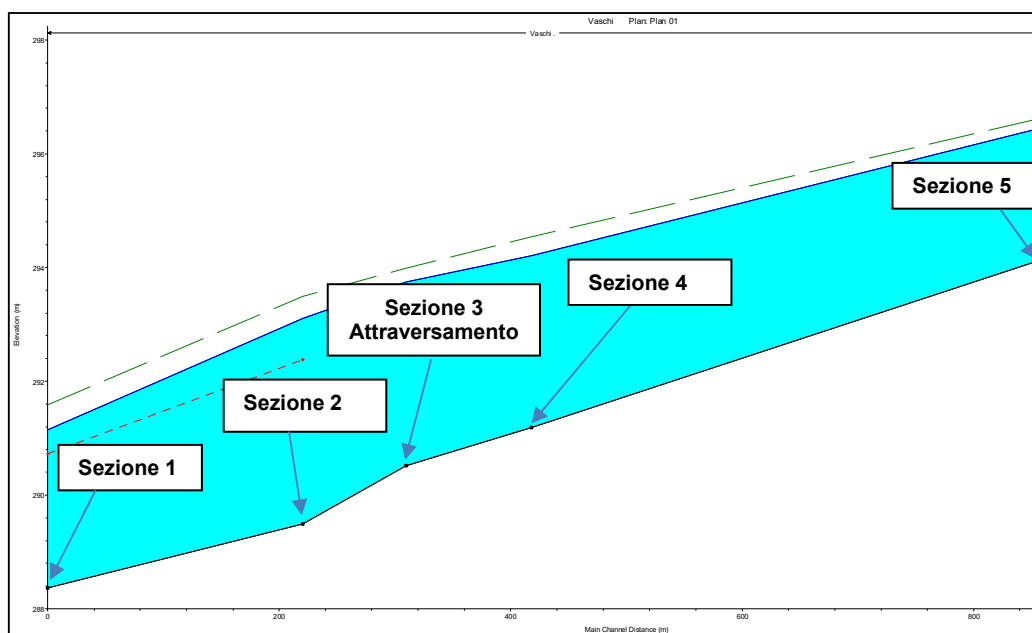
	PROGETTISTA  consulenza materiali - ispezioni - saldatura progettazione - direzione lavori	COMMESSA NR/20047	UNITÀ 00
	LOCALITÀ REGIONI TOSCANA E UMBRIA	LSC-146/ALL. A	
	PROGETTO Rifacimento Metanodotto Sansepolcro – Foligno e opere connesse	Pagina 25 di 30	Rev. 0

TABELLA RIASSUNTIVA RISULTATI MODELLAZIONE

Sezione	Portata	Quota fondo	Livelli idrici	Battenti idrici	Vel. golena sin	Vel. canale	Vel. golena dx	n. Froude
	(m ³ /s)	(m)	(m)	(m)	(m/s)	(m/s)	(m/s)	-
5	67	294.11	296.43	2.32	-	1.88	-	0.46
4	67	291.18	294.21	3.03	-	2.52	-	0.56
3	67	290.52	293.75	3.23	-	2.15	-	0.45
2	67	289.49	293.10	3.61	-	2.77	-	0.61
1	67	288.37	291.15	2.78	-	2.92	-	0.70

(in grassetto la sezione d'attraversamento del metanodotto)

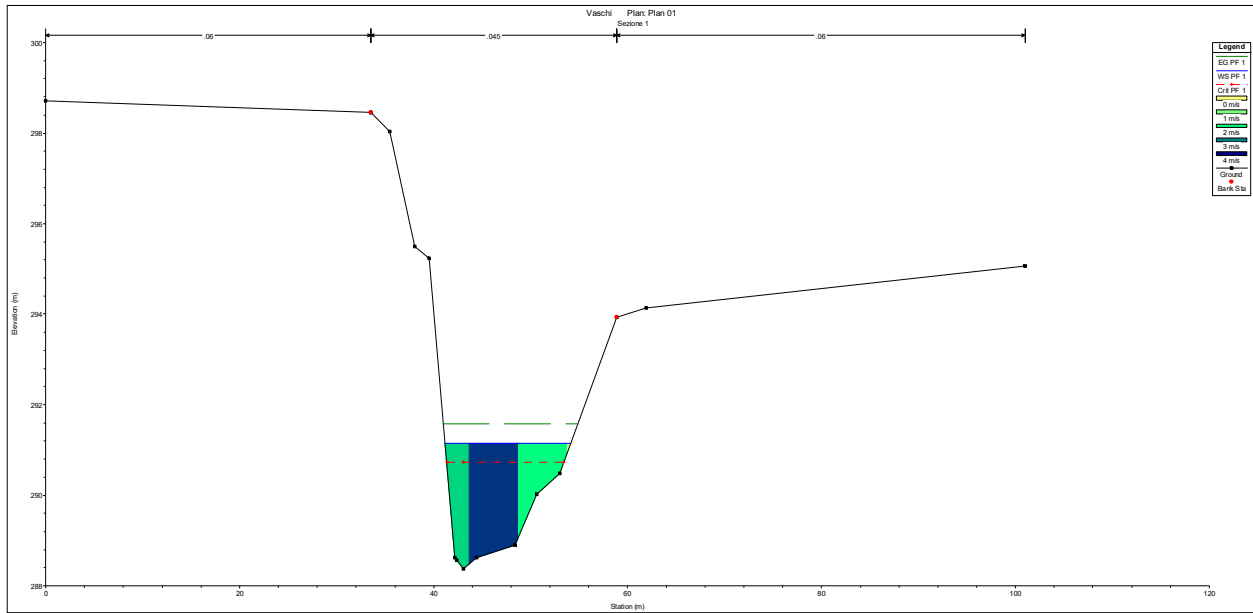
PROFILO LONGITUDINALE CON LIVELLO IDRICO DUECENTENNALE



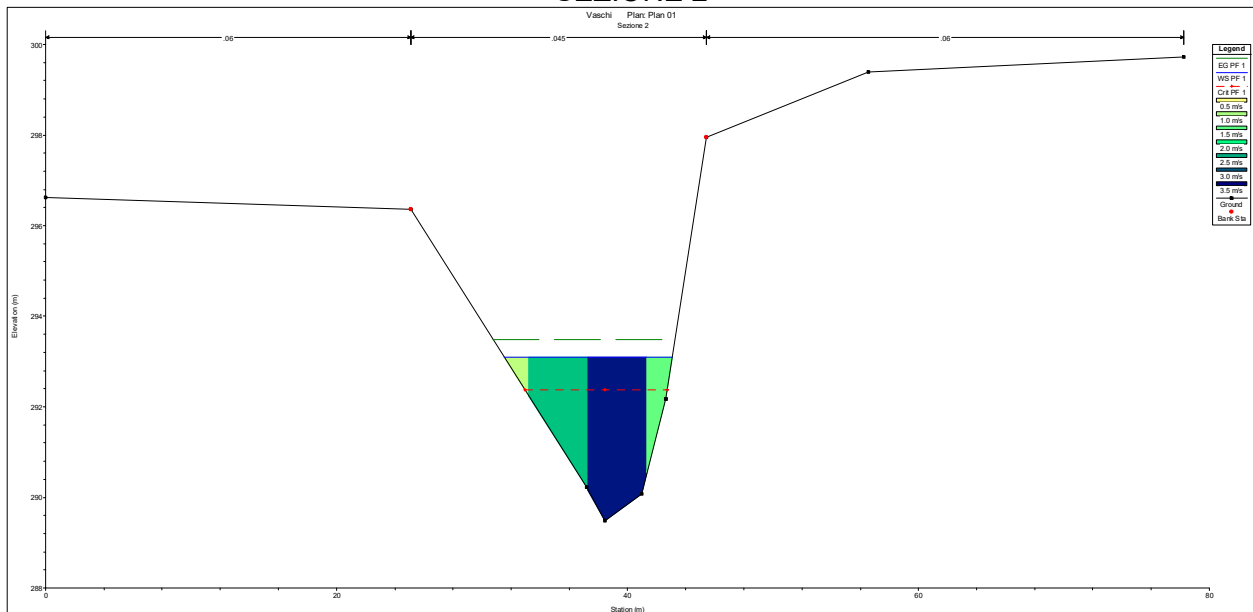
	PROGETTISTA  consulenza materiali - ispezioni - saldatura progettazione - direzione lavori	COMMESSA NR/20047	UNITÀ 00
	LOCALITA' REGIONI TOSCANA E UMBRIA	LSC-146/ALL. A	
	PROGETTO Rifacimento Metanodotto Sansepolcro – Foligno e opere connesse	Pagina 26 di 30	Rev. 0

SEZIONI (da valle a monte)

SEZIONE 1

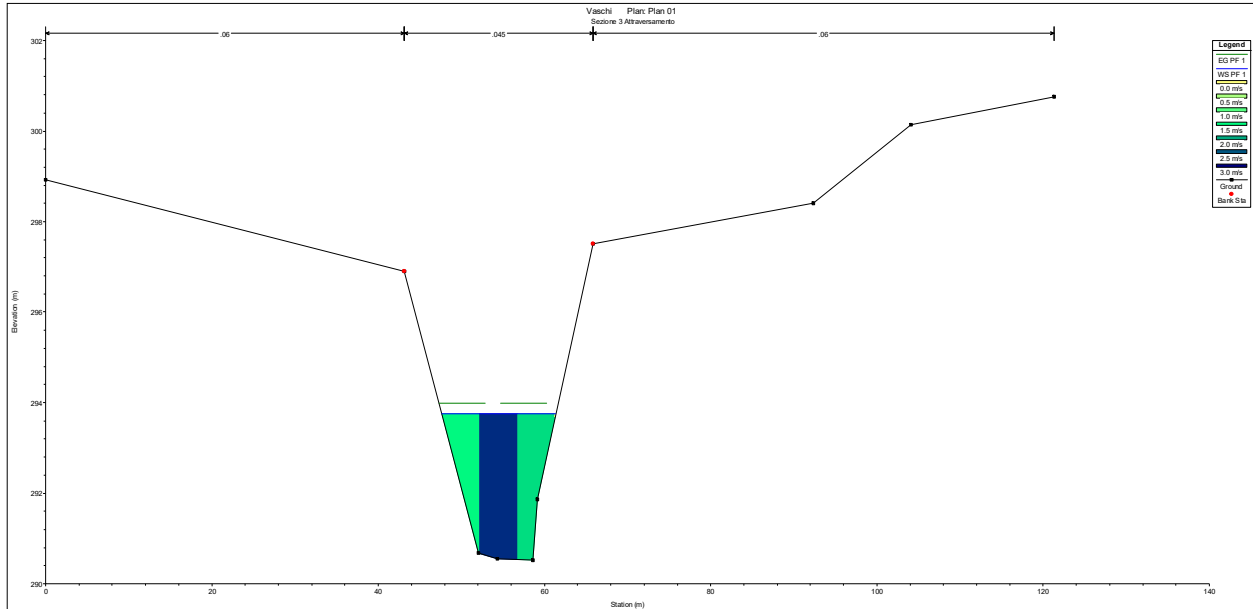


SEZIONE 2

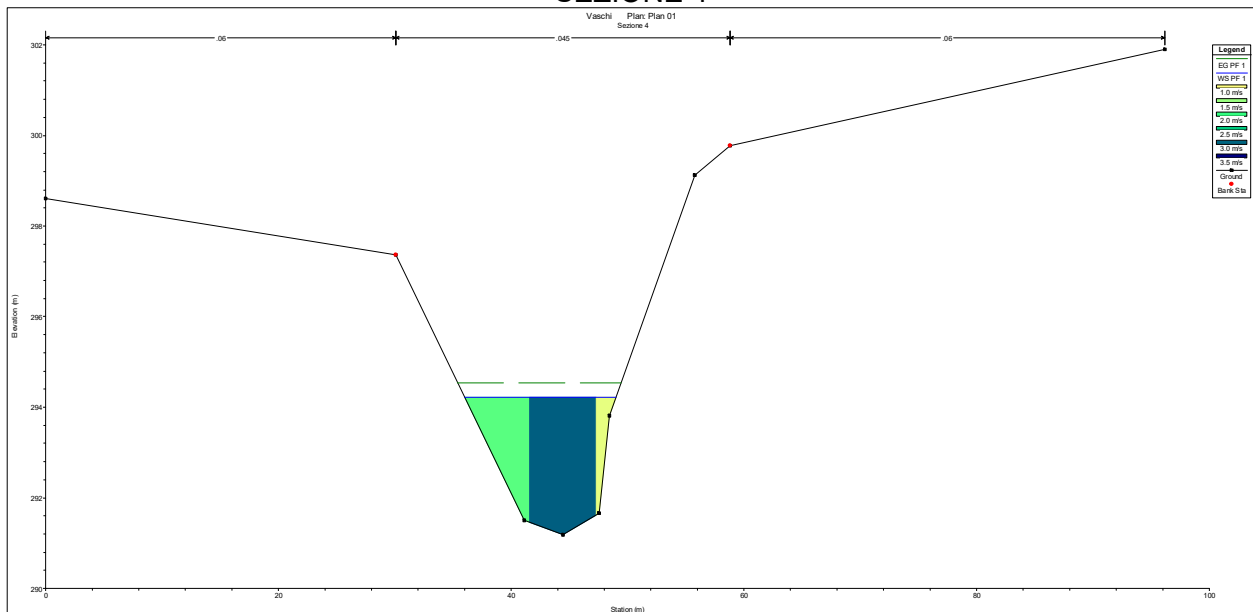


	PROGETTISTA  consulenza materiali - ispezioni - saldatura progettazione - direzione lavori	COMMESSA NR/20047	UNITÀ 00
	LOCALITÀ REGIONI TOSCANA E UMBRIA	LSC-146/ALL. A	
	PROGETTO Rifacimento Metanodotto Sansepolcro – Foligno e opere connesse	Pagina 27 di 30	Rev. 0

SEZIONE 3 ATTRAVERSAMENTO

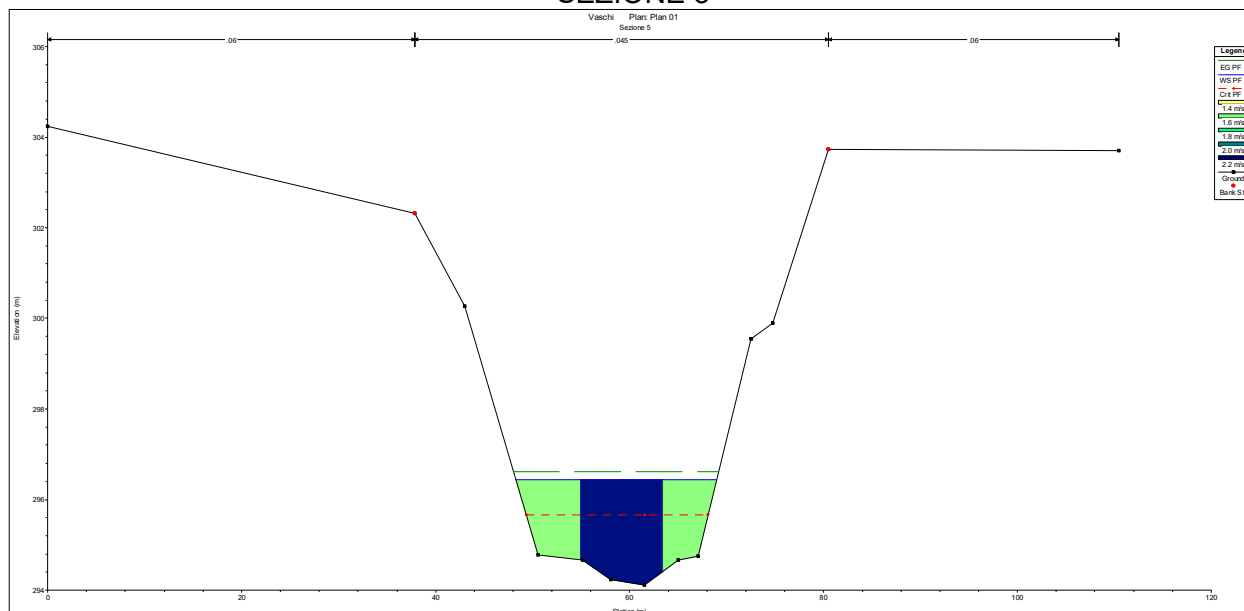


SEZIONE 4



	PROGETTISTA  consulenza materiali - ispezioni - saldatura progettazione - direzione lavori	COMMESSA NR/20047	UNITÀ 00
	LOCALITÀ REGIONI TOSCANA E UMBRIA	LSC-146/ALL. A	
	PROGETTO Rifacimento Metanodotto Sansepolcro – Foligno e opere connesse	Pagina 28 di 30	Rev. 0

SEZIONE 5



RISULTATI DI DETTAGLIO (da valle a monte)

SEZIONE 1

Plan: Plan 01 Vaschi . RS: 1 Profile: PF 1					
Element	Value	Element	Left OB	Channel	Right OB
E.G. Elev (m)	291.58	Wt. n-Val.		0.045	
Vel Head (m)	0.44	Reach Len. (m)			
W.S. Elev (m)	291.15	Flow Area (m ²)		22.93	
Crit W.S. (m)	290.72	Area (m ²)		22.93	
E.G. Slope (m/m)	0.010001	Flow (m ³ /s)		67.00	
Q Total (m ³ /s)	67.00	Top Width (m)		12.95	
Top Width (m)	12.95	Avg. Vel. (m/s)		2.92	
Vel Total (m/s)	2.92	Hydr. Depth (m)		1.77	
Max Chl Dpth (m)	2.78	Conv. (m ³ /s)		670.0	
Conv. Total (m ³ /s)	670.0	Wetted Per. (m)		15.22	
Length Wtd. (m)		Shear (N/m ²)		147.83	
Min Ch El (m)	288.37	Stream Power (N/m s)		431.88	
Alpha	1.00	Cum Volume (1000 m ³)			
Frctn Loss (m)		Cum SA (1000 m ²)			
C & E Loss (m)					

	PROGETTISTA  <small>consulenza materiali - ispezioni - saldatura progettazione - direzione lavori</small>	COMMESSA NR/20047	UNITÀ 00
	LOCALITÀ REGIONI TOSCANA E UMBRIA	LSC-146/ALL. A	
	PROGETTO Rifacimento Metanodotto Sansepolcro – Foligno e opere connesse	Pagina 29 di 30	Rev. 0

SEZIONE 2

Plan: Plan 01 Vaschi . RS: 2 Profile: PF 1					
E.G. Elev (m)	293.49	Element	Left OB	Channel	Right OB
Vel Head (m)	0.39	Wt. n-Val.		0.045	
W.S. Elev (m)	293.10	Reach Len. (m)	220.00	220.00	220.00
Crit W.S. (m)	292.38	Flow Area (m2)		24.19	
E.G. Slope (m/m)	0.007583	Area (m2)		24.19	
Q Total (m3/s)	67.00	Flow (m3/s)		67.00	
Top Width (m)	11.58	Top Width (m)		11.58	
Vel Total (m/s)	2.77	Avg. Vel. (m/s)		2.77	
Max Chl Dpth (m)	3.61	Hydr. Depth (m)		2.09	
Conv. Total (m3/s)	769.4	Conv. (m3/s)		769.4	
Length Wtd. (m)	220.00	Wetted Per. (m)		14.13	
Min Ch El (m)	289.49	Shear (N/m2)		127.34	
Alpha	1.00	Stream Power (N/m s)		352.70	
Frctn Loss (m)	1.91	Cum Volume (1000 m3)		5.18	
C & E Loss (m)	0.00	Cum SA (1000 m2)		2.70	

SEZIONE 3

Plan: Plan 01 Vaschi . RS: 3 Profile: PF 1					
E.G. Elev (m)	293.99	Element	Left OB	Channel	Right OB
Vel Head (m)	0.23	Wt. n-Val.		0.045	
W.S. Elev (m)	293.75	Reach Len. (m)	90.00	90.00	90.00
Crit W.S. (m)		Flow Area (m2)		31.23	
E.G. Slope (m/m)	0.003922	Area (m2)		31.23	
Q Total (m3/s)	67.00	Flow (m3/s)		67.00	
Top Width (m)	13.76	Top Width (m)		13.76	
Vel Total (m/s)	2.15	Avg. Vel. (m/s)		2.15	
Max Chl Dpth (m)	3.23	Hydr. Depth (m)		2.27	
Conv. Total (m3/s)	1069.9	Conv. (m3/s)		1069.9	
Length Wtd. (m)	90.00	Wetted Per. (m)		16.32	
Min Ch El (m)	290.52	Shear (N/m2)		73.60	
Alpha	1.00	Stream Power (N/m s)		157.87	
Frctn Loss (m)	0.48	Cum Volume (1000 m3)		7.68	
C & E Loss (m)	0.02	Cum SA (1000 m2)		3.84	

	PROGETTISTA  <small>consulenza materiali - ispezioni - saldatura progettazione - direzione lavori</small>	COMMESSA NR/20047	UNITÀ 00
	LOCALITÀ REGIONI TOSCANA E UMBRIA	LSC-146/ALL. A	
	PROGETTO Rifacimento Metanodotto Sansepolcro – Foligno e opere connesse	Pagina 30 di 30	Rev. 0

SEZIONE 4

Plan: Plan 01 Vaschi . RS: 4 Profile: PF 1					
E.G. Elev (m)	294.54	Element	Left OB	Channel	Right OB
Vel Head (m)	0.32	Wt. n-Val.		0.045	
W.S. Elev (m)	294.21	Reach Len. (m)	108.00	108.00	108.00
Crit W.S. (m)		Flow Area (m2)		26.61	
E.G. Slope (m/m)	0.006128	Area (m2)		26.61	
Q Total (m3/s)	67.00	Flow (m3/s)		67.00	
Top Width (m)	12.99	Top Width (m)		12.99	
Vel Total (m/s)	2.52	Avg. Vel. (m/s)		2.52	
Max Chl Dpth (m)	3.03	Hydr. Depth (m)		2.05	
Conv. Total (m3/s)	855.9	Conv. (m3/s)		855.9	
Length Wtd. (m)	108.00	Wetted Per. (m)		15.29	
Min Ch El (m)	291.18	Shear (N/m2)		104.63	
Alpha	1.00	Stream Power (N/m s)		263.40	
Frctn Loss (m)	0.52	Cum Volume (1000 m3)		10.80	
C & E Loss (m)	0.03	Cum SA (1000 m2)		5.28	

SEZIONE 5

Plan: Plan 01 Vaschi . RS: 5 Profile: PF 1					
E.G. Elev (m)	296.61	Element	Left OB	Channel	Right OB
Vel Head (m)	0.18	Wt. n-Val.		0.045	
W.S. Elev (m)	296.43	Reach Len. (m)	437.00	437.00	437.00
Crit W.S. (m)	295.66	Flow Area (m2)		35.63	
E.G. Slope (m/m)	0.003755	Area (m2)		35.63	
Q Total (m3/s)	67.00	Flow (m3/s)		67.00	
Top Width (m)	20.71	Top Width (m)		20.71	
Vel Total (m/s)	1.88	Avg. Vel. (m/s)		1.88	
Max Chl Dpth (m)	2.32	Hydr. Depth (m)		1.72	
Conv. Total (m3/s)	1093.4	Conv. (m3/s)		1093.4	
Length Wtd. (m)	437.00	Wetted Per. (m)		21.96	
Min Ch El (m)	294.11	Shear (N/m2)		59.75	
Alpha	1.00	Stream Power (N/m s)		112.36	
Frctn Loss (m)	2.07	Cum Volume (1000 m3)		24.40	
C & E Loss (m)	0.01	Cum SA (1000 m2)		12.65	